

## Combined effects of silicon amino chelate and phosphorus on photosynthetic indices and quantitative and qualitative characteristics of strawberry (*Fragaria ananassa* cv. Paros) in greenhouse soil culture

DOI: [10.22055/ppd.2025.48281.2225](https://doi.org/10.22055/ppd.2025.48281.2225)

Edris Shabani<sup>1</sup>, Shohreh Zivdar<sup>2</sup>, Afrasyab Rahnama Ghahfarokhi<sup>3</sup>, Abbas Danaifar<sup>4</sup> and Mehran Davoudi Arshad<sup>5</sup>

1,2,4- Assistant Professor, Department of Horticultural Sciences, Faculty of Agriculture, Shahid Chamran University of Ahvaz, Ahvaz, Iran.

3,5- Associate professor and postgraduate degree, respectively, Department of Plant Production and Genetics, Faculty of Agriculture, Shahid Chamran University of Ahvaz, Ahvaz, Iran.

### Abstract

### Introduction

Most of Iran's soils are calcareous soils. In these types of soils, the amount of phosphorus absorption decreases with the increase of soil pH. Phosphorus absorption from the root surface happens quickly, and as a result, the area of 0.2-1 mm around the root becomes empty of phosphorus. An effective strategy to deal with phosphorus deficiency stress is the secretion of organic acid anions by plant roots. Current evidence shows that the application of silicon greatly increases the secretion of organic acids by the roots. According to the findings of the researchers, there is a positive correlation between the availability of silicon and the mobility of phosphorus in the plant. In addition, the external use of silicon also helps to increase the activation of phosphorus from mineral surfaces. Considering the lack of phosphorus resources in the world, the low mobility of phosphorus in the soil, the increase in its price and its excessive use, conducting studies related to phosphorus fertilizers in order to increase the absorption of phosphorus and fruit quality of greenhouse crops seems to be completely necessary.

### Materials and methods

The experiment was conducted in the form of a split plot design and in the form of a basic randomized complete block design with 3 replications. The treatments of this experiment included different levels of phosphorus fertilizer (0, 7.5, 15 and 30 kg/ha, in the main plots) and three levels of silicon amino chelate spraying (0, 2 and 4 ml/L, in the secondary plots). The measurement of chlorophyll a, b and total chlorophyll was done using a spectrophotometer in mature leaves developed according to the method suggested by Arnon (1967). Phosphorus was also measured by colorimetric method. During the experiment, strawberry fruits from different treatments were harvested and counted. The weight of a single fruit was measured by a digital scale with an accuracy of 0.01 g. The total weight of the fruit in each plant was calculated and recorded from the sum of the weight of the harvested fruits during the growth period. The dry matter percentage of the fruit was calculated by dividing the dry weight of the sample by the fresh weight of the sample multiplied by 100 (Tabatabaei, 2013). During the experiment, fruits from different treatments were harvested and their length and diameter were measured by calipers and reported in centimeters. The firmness of the fruit tissue was measured by a firmness meter, and the pH and EC of the fruit extract were

measured by a pH meter and an EC meter, respectively. Also, the percentage of TSS was measured by a refractometer.

### **Result and Discussion**

The results of this experiment showed that the application of 15 kg/ha of phosphorus with a concentration of 2 ml/L of silicon amino chelate ( $P_3Si_2$ ) had the highest amount of chlorophyll a, chlorophyll b and total chlorophyll. The highest phosphorus concentration of the whole plant (0.98%) was obtained at the level of 15 kg/ha of phosphorus and the concentration of 2 ml/L of silicon amino chelate. Based on the results of average comparisons, the highest amount of total fruit weight (599.93 g) was observed in the treatment of 15 kg/ha of phosphorus and the level of 4 ml/L of silicon amino chelate ( $P_3Si_3$ ), which had no significant difference with the  $P_3Si_2$  treatment.  $P_3Si_2$  and  $P_3Si_3$  treatments compared to the control treatment ( $P_1Si_1$ ) caused an increase of 67.62 and 68.33 percent of the total weight of strawberry fruits, respectively. The highest percentage of fruit dry matter (7.38%) was observed in the  $P_3Si_2$  treatment, which had no significant difference with the  $P_3Si_3$  treatment (6.97%). In many studies, an increase in chlorophyll and yield was observed after the application of foliar spraying with silicon. The use of silicon strongly increases the secretion of malate and citrate by the roots, and in this way, it helps to mobilize and absorb more phosphorus in conditions of its deficiency (Hu et al., 2021).

### **Conclusion**

According to the results, it is recommended to use a concentration of 2 ml/L in silicon amino chelate and a level of 15 kg/ha of monopotassium phosphate to achieve maximum growth, yield and quality of strawberry fruits.

**Keywords:** Fertilizer, Foliar application, Growth, Plant nutrition, Yield.

# اثرات ترکیبی آمینوکلات سیلیسیم و فسفر بر شاخص‌های فتوستزی و خصوصیات کمی و کیفی توت‌فرنگی رقم پاروس (*Fragaria ananassa cv. Paros*) در کشت خاکی گلخانه‌ای

ادریس شعبانی<sup>۱\*</sup>، شهره زیودار<sup>۲</sup>، افراسیاب راهنمای<sup>۳</sup>، عباس دانایی‌فر<sup>۴</sup> و مهران داوودی ارشد<sup>۵</sup>

۱ (نویسنده مسئول) و ۲-۴- استادیار گروه علوم باگبانی، دانشکده کشاورزی، دانشگاه شهید چمران اهواز، ایران  
(edris.shabani@scu.ac.ir)

۳۰- به ترتیب دانشیار و دانش آموخته کارشناسی ارشد گروه مهندسی تولید و ژنتیک گیاهی، دانشکده کشاورزی، دانشگاه شهید چمران اهواز، ایران

## چکیده

یکی از مشکلات عمده در خاک‌های آهکی ایران کمبود فسفر می‌باشد. همچنین میزان غلظت فسفر محلول خاک و قابلیت دسترسی آن برای گیاه، بسیار کم است. با توجه به کمبود منابع فسفره در جهان و استفاده بی‌رویه از آن، انجام مطالعات مرتبط با کودهای شیمیایی به ویژه کودهای فسفره در محصولات زراعی و گلخانه‌ای امری ضروری به نظر می‌رسد. از طرفی با کمبود سیلیسیم ورود فسفات غیرآلی به ساختمان ترکیبات حاوی فسفر مانند ATP، ADP و قندهای دارای فسفات کاهش می‌یابد. سیلیسیم سبب افزایش مقاومت به تنفس‌های زنده و غیر زنده، بهبود عدم توازن مواد غذایی، افزایش جذب نور و فتوستز، افزایش شاخص‌های رشدی، عملکردی و کیفی محصولات، ارتقاء بهره‌وری آب و ترسیب زیستی دی‌اکسیدکربن اتمسفر می‌گردد. بنابراین مطالعه حاضر با هدف بررسی اثر محلول پاشی آمینوکلات سیلیسیم (Si) بر جذب فسفر (P) و خصوصیات کمی و کیفی میوه توت‌فرنگی در کشت گلخانه‌ای مورد بررسی قرار گرفت. در این راستا آزمایشی به صورت طرح اسپلیت پلاک و در قالب طرح پایه بلوک‌های کامل تصادفی با ۳ تکرار در شهرستان ایذه استان خوزستان در زمستان ۱۴۰۱ تا بهار ۱۴۰۲ اجرا گردید. تیمارهای این آزمایش شامل سطوح مختلف کود فسفره منوپتاسیم فسفات (۰، ۷/۵، ۱۵ و ۳۰ کیلوگرم در هکتار، در کرت‌های اصلی) و سه سطح محلول پاشی آمینوکلات سیلیسیم (۰، ۲ و ۴ میلی‌لیتر بر لیتر، در کرت‌های فرعی) بودند. رقم توت‌فرنگی مورد استفاده در این آزمایش از نوع پاروس بود. بوته‌ها در طول فصل رشد به صورت هر ده روز یکبار با غلظت‌های مختلف فسفر از منبع منوپتاسیم فسفات به صورت کود فسفره آبیاری تغذیه شدند. همچنین محلول پاشی آمینوکلات سیلیسیم به صورت هر دو هفت‌های یکبار به صورت کاربرد برگی بر بوته‌های مورد نظر در هر پلاک آزمایشی اعمال گردید. نتایج این آزمایش نشان داد که کاربرد ۱۵ کیلوگرم در هکتار کود فسفره همراه با غلظت ۲ میلی‌لیتر در لیتر آمینوکلات سیلیسیم (P<sub>3</sub>Si<sub>2</sub>) دارای بیشترین میزان کلروفیل a، کلروفیل b و کلروفیل کل بود و به ترتیب سبب افزایش ۴۲/۳۰، ۴۲/۴۲ و ۴۲/۳۵ درصدی کلروفیل a، کلروفیل b و کلروفیل کل نسبت به تیمار شاهد (P<sub>1</sub>Si<sub>1</sub>) شدند. بر اساس نتایج مقایسات میانگین در سطح ۱۵ کیلوگرم در هکتار فسفر با افزایش غلظت آمینوکلات سیلیسیم تا سطح ۲ میلی‌لیتر در لیتر غلظت فسفر کل گیاه افزایش معنی داری یافت ولی مجدداً در سطح ۴ میلی‌لیتر در لیتر کاهش یافت، به گونه‌ای که بالاترین غلظت فسفر کل گیاه (۰/۹۸) در سطح ۱۵ کیلوگرم در هکتار فسفر و غلظت ۲ میلی‌لیتر در لیتر آمینوکلات سیلیسیم به دست آمد. بر اساس نتایج مقایسات میانگین، بالاترین میزان وزن کل میوه (۵۹۹/۹۳ گرم) در تیمار ۱۵ کیلوگرم در هکتار فسفر و سطح ۴ میلی‌لیتر در لیتر آمینوکلات سیلیسیم (P<sub>3</sub>Si<sub>3</sub>) و تیمار ۱۵ کیلوگرم در هکتار فسفر و سطح ۲ میلی‌لیتر در لیتر آمینوکلات سیلیسیم (P<sub>3</sub>Si<sub>2</sub>) مشاهده گردید. تیمار<sub>2</sub> P<sub>3</sub>Si<sub>2</sub> و T<sub>3</sub> P<sub>3</sub>Si<sub>3</sub> در هکتار فسفر و سطح ۴ میلی‌لیتر در لیتر آمینوکلات سیلیسیم مشاهده شدند.

قياس با تیمار شاهد ( $P_1Si_1$ ) به ترتیب سبب افزایش ۶۷/۶۲ و ۶۸/۳۳ درصدی وزن کل میوه‌های توت‌فرنگی گردید. نتایج اثرات متقابل نشان داد که با افزایش غلظت فسفر تا سطح ۱۵ کیلوگرم در هکتار درصد ماده خشک میوه در سطوح ۲ و ۴ میلی‌لیتر در لیتر آمینوکلات سیلیسیم افزایش و مجدداً کاهش یافت. بیشترین درصد ماده خشک میوه (۷/۳۸ درصد) در تیمار  $P_3Si_2$  مشاهده گردید که اختلاف معنی‌داری با تیمار  $P_3Si_3$  (۶/۹۷) نشان نداد. با توجه با نتایج حاصل، استفاده از غلظت ۲ میلی‌لیتر در آمینوکلات سیلیسیم و سطح ۱۵ کیلوگرم در هکتار منوپتاسمیم فسفات جهت حصول حداکثر رشد، عملکرد و کیفیت میوه‌های توت‌فرنگی توصیه می‌شود.

**کلید واژه‌ها:** تغذیه گیاه، رشد، کود، عملکرد، محلول پاشی برگی



(2024). استفاده از منابع مختلف سیلیسیم می‌تواند بر پروتئین‌های دخیل در مسیر فتوسترن موثر باشد (Park et al., 2018). در واقع سیلیسیم اثرات سمی ناشی از تنش‌های غیرزیستی به عنوان مثال، تنش شوری، خشکی، فلزات سنگین، تابش اشعه ماوراء بنتف و عدم تعادل مواد مغذی را کاهش می‌دهد. جالب توجه است که توانایی سیلیسیم برای کاهش تنش‌های مختلف حتی در گونه‌هایی با پتانسیل تجمع کم سیلیسیم مانند گوچه‌فرنگی نیز تایید شده است (Luyckx et al., 2017). همچنین این عنصر می‌تواند بر رشد زایشی گیاهان اثرگذار باشد. سیلیسیم با ته نشین شدن در دیوارهای چوبی شده سلول‌ها بر پایداری آن‌ها اثرگذار است. همچنین سیلیسیم به عنوان یک ماده ساختمانی به انرژی کمتری در مقایسه با لیکنین نیاز دارد. در نیشکر با کمبود سیلیسیم، کاهش قابل ملاحظه‌ای در ورود فسفات غیرآلی به ساختمان ترکیبات حاوی فسفر مانند ATP، ADP و قندهای دارای فسفات مشاهده گردید (Tabatabaei, 2013). محلول-پاشی برگی برخی عناصر، سبب افزایش عملکرد و میزان قند میوه طی برداشت اولیه و میانه فصل می‌گردد. بوته‌های جوان توت فرنگی انرژی خود را نه تنها به تولید برگ‌ها بلکه به توسعه ریشه‌های جدید نیز اختصاص می‌دهند و بلافاصله تولید گل و میوه می‌نمایند. در نتیجه تغذیه برگی می‌تواند در زمان تشکیل و توسعه قسمت ریشه گیاهان بسیار مفید واقع می‌گردد (Molaie et al., 2018). در مقایسه با کودهای معمولی در کشاورزی، آمینوکلات‌ها شکل کارآمدتری از کود هستند و به عملکرد بهتر گیاه و کاهش خطرات زیست محیطی منجر می‌شوند. با توجه به اینکه آمینوکلات‌ها به سرعت در بازارهای کود در بسیاری از کشورها توسعه پیدا کردند، ولی اطلاعات علمی کافی در مورد پاسخ دقیق محصولات به این نوع کودها وجود ندارد (Souri & Yarahmadi, 2016). آمینواسیدها به طور مستقیم یا غیرمستقیم در افزایش رشد و عملکرد گیاهان موثر هستند (et al., 2012). آمینواسیدها ترکیبات شیمیایی آلی و واحدهای

توت فرنگی از ریزموهای مهم است که استفاده از آن به دلیل عطر و طعم مناسب، خواص بهداشتی و دارویی مورد توجه مصرف کنندگان قرار گرفته است. همچنین این محصول به شکل تازه‌خوری و فرآوری نیز مورد استفاده قرار می‌گیرد. مصرف توت فرنگی از نظر میزان بالای ترکیبات آنتی اکسیدانی، عناصر مغذی و ویتامین C بسیار مورد توجه می‌باشد. مقادیر بالای آنتوسبانین موجود در گوشت میوه توت فرنگی به عنوان یک ترکیب آنتی اکسیدانی از اندام‌های بدن در برابر تخریب ترکیبات اکسیدانت جلوگیری می‌نماید، همچنین فول موجود در آن به دلیل خواص ضدالتهابی، ضد سلطانی و حفاظت از قلب و عروق کرونری توجه مصرف کنندگان را به خود جلب کرده است (Tulipani et al., 2009).



از میان عناصر در طبیعت سیلیسیم بعد از اکسیژن دومین عنصر (28 درصد) فراوان پوسته زمین می‌باشد (Ranjbar et al., 2020). اگرچه در برخی منابع علمی به عنوان یک عنصر ضروری معرفی نشده است، اما در برخی از گیاهان به عنوان یک عنصر ضروری در نظر گرفته شده است. یافته‌های پژوهشگران نشان می‌دهد که این عنصر تاثیرات آشکاری بر شاخص‌های رشدی و عملکردی گیاهان دارد (Seyed lor et al., 2013). سیلیسیم با قرار گیری در دیواره سلولی اپیدرم برگ‌ها و دیواره سلولی آوندهای چوبی به ترتیب مانع از دست دادن آب توسط تعرق کوتیکولی و فرو ریختن آوندها در شرایط تعرق شدید می‌گردد (Marschner, 1995). بررسی منابع علمی مختلف نشان می‌دهد که این عنصر سبب افزایش مقاومت به تنش‌های زیستی و غیر زیستی، بهبود فعالیت‌های آنزیمی، بهبود عدم توازن مواد غذایی، کاهش سمیت مواد معدنی، بهبود خصوصیت مکانیکی بافت‌های گیاه، افزایش جذب نور و فتوسترن، افزایش شاخص‌های رشدی، عملکردی و کیفی محصولات، ارتقاء بهره‌وری آب و ترسیب زیستی دی اکسید کربن اتمسفر می‌گردد (Mali & Aery, 2008; Song et al., 2013; Abdollahi et al.,

کاهش می‌یابد. بنابراین یکی از مشکلات عمدۀ در خاک‌های آهکی ایران کمبود فسفر می‌باشد (Roozitalab et al., 2018). کاهش مقادیر فسفر در سیتوپلاسم و در نتیجه کاهش مقدار آن در کلروپلاست، سبب ایجاد اخلال در روند فعالیت‌های (Rao et al., 1989; Shabani et al., 2018) از طرفی میزان غلظت فسفر در محلول خاک محدوده (Shabani et al., 2018) بین ۰/۰۰۱ تا ۱ میلی گرم در لیتر و تحرک فسفر قابل دسترس گیاه در خاک (۰/۳ سانتی‌متر در سال) بسیار کم است (Shabani et al., 2018). جذب فسفر از سطح ریشه به سرعت اتفاق می‌افتد و در نتیجه آن محدوده ۰/۲-۱ میلی متری اطراف ریشه خالی از فسفر می‌شود. بنابراین استفاده از کودهای حاوی فسفر در طول دوره رشد در منطقه ریزوسفر گیاه انکار ناپذیر است (Mikkelsen, 2013). گیاه در مراحل آغازین رشد، فسفر قابل جذب خاک را به سرعت استفاده می‌کند اما در مراحل بعدی از انواع فسفری که به اشکال قابل جذب در خاک درآمده است، استفاده می‌کنند (Mosali et al., 2006). با توجه به مطالب گفته شده، مشخص نمودن مقدار دقیق فسفر مورد نیاز جهت حصول حداکثر عملکرد و تغذیه بهینه طی رشد گیاه به دلیل شرایط پیچیده خاک امری دشوار است. به طور معمول در آغاز فصل رشد و زمان کاشت کل فسفر مورد نیاز در اختیار گیاه قرار می‌گیرد که در این روش به ویژه در ارقام پرمحصول در طول دوره رشد معمولاً کمبود فسفر ملاحظه می‌گردد و یا به دلیل ثبت از دسترس گیاه خارج می‌گردد (Gray, 1977). مصرف بیش از حد کودهای شیمیایی به منظور افزایش عملکرد محصولات کشاورزی در واحد سطح، موجب آلودگی‌های زیست محیطی، به ویژه آلودگی منابع خاک و آب شده است که با ورود به منابع غذایی انسان، سلامت جامعه بشری را تهدید می‌کند (Khavazi et al., 2018) که در میان آنها مصرف بیش از حد و نامتعادل کودهای فسفره قابل توجه می‌باشد. بنابراین انجام مطالعات مرتبط با کودهای شیمیایی به ویژه کودهای فسفره در محصولات گلخانه‌ای امری کاملاً ضروری به نظر می‌رسد.

سازنده پروتئین‌ها می‌باشند و دارای نقش‌های ساختاری، متابولیکی و انتقال در گیاهان هستند (Liu et al., 2008). آمینو اسیدها پیش‌سازهای فیتوهورمون‌ها می‌باشند. به‌طور کلی اسیدهای آمینه باعث بهبود متابولیسم گیاه جهت افزایش عملکرد، افزایش کیفیت محصول، افزایش تحمل گیاه به تنش‌های غیرزیستی، تسهیل و بهبود جذب، انتقال و استفاده از مواد مغذی و همچنین افزایش ویژگی‌های کیفی محصول می‌شوند (Calvo et al., 2014). با توجه به موارد مطرح شده، بهره جستن از غلظت‌های مختلف آمینوکلات سیلیسیم در تیمارهای تغذیه‌ای محصولات گلخانه‌ای مانند توت‌فرنگی می‌تواند نتایج رضایت‌بخشی را به همراه داشته باشد که لزوم بررسی آن با توجه به افزایش چشمگیر قیمت کودهای فسفره، بسیار ضروری به نظر می‌رسد.

فسفر یک عنصر کلیدی در تغذیه گیاه است که بر رشد و بهره‌وری گیاه تأثیر زیادی دارد. دسترسی فسفر موجود در خاک به دو دلیل بسیار کم است: ثبیت فسفر به اشکال آلی و همچنین ثبیت بهوسیله اکسیدهای آلومینیوم و آهن در خاک‌های اسیدی و مواد معدنی نظیر کلسیم در خاک‌های آهکی که در هر دو مورد میزان شدت آن به pH خاک بستگی دارد. استراتژی‌های حیاتی برای بهبود عملکرد محصول در خاک‌های با کمبود فسفر، بهبود راندمان جذب فسفر از طریق افزایش در دسترس بودن فسفر خاک و افزایش کارایی استفاده از فسفر در اندام‌های داخلی گیاه است (Hu et al., 2021). تنش بیش از حد فسفر نیز در برخی از خاک‌های گلخانه‌ای که در معرض کاربرد زیاد کود فسفر قرار می‌گیرند یا در کشت هیدروپونیک که غلظت فسفر بالایی دارد، مشاهده می‌شود. اثر مفید سیلیسیم بر کمبود فسفر یا تنش اضافی برای تعدادی از گونه‌های گیاهی گزارش شده است (Hu et al., 2021).

عمده خاک‌های ایران جز خاک‌های آهکی به حساب می‌آید. در این نوع خاک‌ها با افزایش pH خاک میزان جذب فسفر

## مواد و روش‌ها

این آزمایش در یک مجتمع گلخانه‌ای واقع در شهرستان ایذه استان خوزستان طی زمستان ۱۴۰۱ تا بهار ۱۴۰۲ انجام شد. گلخانه فوق دارای سازه فلزی، پوشش پلاستیکی و فاقد سیستم گرمایشی بود. گیاهان در طول این آزمایش تحت دمای  $23\pm 2^{\circ}\text{C}$  روز و  $15\pm 2^{\circ}\text{C}$  شب، رطوبت تسبی  $65\pm 5$  و نور طبیعی خورشید رشد یافته‌اند. تیمارهای این آزمایش شامل سطوح مختلف کود فسفره ( $0$ ،  $15$ ،  $7/5$  و  $30$  کیلوگرم در هکتار، در کرت‌های اصلی) و سه سطح محلول پاشی آمینوکلات سیلیسیم ( $0$ ،  $2$  و  $4$  میلی‌لیتر بر لیتر، در کرت‌های فرعی) بودند. این آزمایش به صورت طرح اسپلیت پلات و در قالب طرح پایه بلوک‌های کامل تصادفی با  $3$  تکرار اجرا گردید.

رقم توتفرنگی مورد استفاده در این آزمایش از نوع پاروس بود. بوتهای مورد نظر از یک واحد تولیدی در استان کردستان که بوتهای آن نیاز سرمایی را گذرانده بودند، خریداری و پس از انتقال به گلخانه فوق الذکر در پلات‌های مشخص شده کشت گردید. نشاها قبل از کشت با قارچکش مانکوزب به مقدار  $100$  گرم در  $100$  لیتر آب ضدغونی شدند. بافت خاک گلخانه مورد نظر از نوع لومی بوده است. درصد شن، لای، رس، کرین آلی و ماده آلی به ترتیب  $44\%$ ،  $37\%$ ،  $19\%$ ،  $107\%$  و  $1/84\%$  و pH  $7/35$  و EC آن نیز  $1/95\text{ dS/m}$  بوده است. فسفر قابل جذب این خاک در حدود  $11\text{ ppm}$  و میزان سیلیسیم آن در حدود  $2/4\%$  بوده است.

به منظور اجرای این آزمایش برای هر کرت اصلی  $4$  متر طول و  $60$  سانتی‌متر عرض (عرض هر خط کاشت) در نظر گرفته شد. طول کرت‌های فرعی نیز یک متر در نظر گرفته شد به گونه‌ای که تعداد  $10$  بوته توتفرنگی برای هر کرت فرعی قرار گرفت. به منظور رعایت اثر حاشیه فاصله بین

کرت‌های اصلی یک متر و فاصله بین کرت‌های فرعی نیم متر در نظر گرفته شد. بوتهای در طول فصل رشد به صورت هر ده روز یکبار با کودهای مرسوم و سطوح مختلف فسفر تغذیه شدند. کودهای مرسوم شامل تغذیه با کودهای نیترات کلسیم، سولفات پتاسیم، نیترات منیزیم، کلات آهن و محلول‌پاشی کود میکرو کامل بود. به منظور تامین فسفر از کود منوپاتاسیم فسفات ( $\text{KH}_2\text{PO}_4$ ) ( $0$ - $52-34$ ) با نام تجاری Quali Max<sup>®</sup> از شرکت رDSA<sup>®</sup> و با گرید گلخانه‌ای استفاده گردید. این کود دارای  $22/8$  درصد فسفر خالص می‌باشد. سطوح مختلف کود فسفره ( $0$ ،  $15$ ،  $7/5$  و  $30$  کیلوگرم در هکتار) از کود فوق الذکر تامین و پس از حل شدن در بشکه محلول غذایی توسط سیستم آبیاری و نوار تیپ پای بوته قرار گرفت. بطور متوجه در هر بار مقدار  $15-20$  لیتر محلول حاوی فسفر در  $10$  دقیقه توسط سیستم آبیاری تامین گردید. همچنین محلول‌پاشی آمینوکلات سیلیسیم با نام تجاری سیلیکامین<sup>®</sup> یا ارگانامین سیلیس به صورت هر دو هفته یکبار توسط دستگاه سمپاش به صورت کاربرد برگی با غلاظت‌های  $0$ ،  $2$  و  $4$  میلی‌لیتر بر لیتر بر بوتهای مورد نظر در هر پلات آزمایشی اعمال گردید. کود مایع آمینوکلات سیلیسیم مورد استفاده در این آزمایش از شرکت ارگانامین<sup>®</sup> تامین شد. این محصول به صورت وزنی-وزنی حاوی  $14\%$  سیلیسیم و  $1/43\%$  اسید آمینه‌های آزاد چپ گرد از جمله آسپارتیک اسید، ایزولوسین، آلانین، آرژین، تیروزین، ترئوین، سیستئن، لیزین و غیره می‌باشد. همچنین pH محلول‌های غذایی در محدود  $6$  توسط اسید نیتریک تنظیم گردید. عملیات هرس برگ در طول دوره رشد انجام گردید. همچنین برای کنترل آفات از تله کارت زرد استفاده گردید.

در نهایت صفات رشدی و فیزیولوژیک بوته و خصوصیات کمی و کیفی میوه توتفرنگی در طول دوره رشد و پایان آزمایش مورد سنجش و بررسی قرار گرفت. با استفاده از

را با آب مقطر کمی خیس کرده و ۱۰ میلی لیتر اسید هیدروکلریک ۲ مولار به آن اضافه و بعد از اتمام فعل و انفعالات محتویات کروزه از کاغذ صافی به داخل بالن ژوژه صاف گردید. مقدار ۵ سی سی از محلول عصاره حاصل از هضم را به داخل بالن ژوژه ۲۵ میلی لیتر ریخته و ۵ سی سی به آن محلول آمونیوم مولیدات-وانادات اضافه کرده و به حجم رسانده شد. سپس میزان جذب نمونه‌ها توسط دستگاه اسپکتروفوتومتر در طول موج ۴۷۰ نانومتر قرائت و مقدار فسفر بخش هوایی و ریشه محاسبه گردید و نهایتاً با تجمعی آن‌ها، غلظت فسفر کل گیاه بدست آمد.

در طول آزمایش میوه‌های توت فرنگی از تیمارهای مختلف برداشت و شمارش گردید. برداشت میوه زمانی انجام شد که سه چهارم هر میوه رنگ گرفته بودند. وزن تک میوه توسط ترازوی دیجیتالی با دقیق ۰/۱ گرم اندازه گیری شد. وزن کل میوه در هر بوته نیز از تجمعی وزن میوه‌های برداشت شده در طول دوره رشد محاسبه و ثبت گردید. جهت محاسبه درصد ماده خشک میوه، ابتدا میوه‌های توت فرنگی هر تیمار توزین و سپس در داخل پاکت کاغذی قرار داده شد، سپس نمونه‌ها درون آون در دمای ۷۰ درجه سانتیگراد به مدت ۴۸ ساعت قرار داده شد و پس از ثابت شدن وزن، با ترازوی دیجیتالی مجدداً توزین شد. سپس درصد ماده خشک میوه با استفاده از تقسیم وزن خشک نمونه بر وزن تر نمونه ضربید ۱۰۰ محاسبه گردید (Tabatabaei, 2013). در طول آزمایش، میوه‌ها از تیمارهای مختلف برداشت شده و طول و قطر آن‌ها توسط کولیس اندازه گیری و بر حسب سانتی متر گزارش گردید. میزان سفتی بافت میوه توسط دستگاه سفتی سنج (Santam, 2013) اندازه گیری شد. اندازه گیری از قسمت میانی میوه انجام شد و با پرورب آلومینیومی ۸ میلی متری و سرعت ۲۰ میلی متر بر دقیقه به میوه‌ای که روی یک سطح سخت قرار گرفته بود، فشار داده شد. در نهایت سفتی میوه

روش (Arnon 1976) اندازه گیری میزان کلروفیل a، کلروفیل b، کلروفیل کل و کارتوئید با نمونه گیری تصادفی از برگ‌های بالغ توسعه یافته در زمان رشد زایشی انجام و عصاره گیری با استون صورت پذیرفت. بدین صورت که مقدار ۰/۱ گرم از نمونه برگ بالغ و تازه در هاون چینی با ۵ میلی لیتر استون ۸۰ درصد ساییده شد تا به صورت محلول یکواختی درآمد. در نهایت با استفاده از استون ۸۰٪ به حجم ۱۰ میلی لیتر رسانده شد و در مرحله بعد فالکون‌های حاوی نمونه برگ و استون در سانتریفیوژ با سرعت ۵۵۰۰ دور در دقیقه به مدت ۱۵ دقیقه قرار داده شد. میزان جذب نمونه‌ها در طول موج‌های ۶۴۵، ۶۶۳ و ۴۸۰ نانومتر توسط دستگاه اسپکتروفوتومتر (UV-1201, Shimadzu, Japan) قرائت گردید. محاسبه میزان کلروفیل a، b، کل و کارتوئید از فرمول زیر بدست آمد:

$$\text{Chlorophyll a (mg/g fresh tissue)} = \frac{((12.7 \times A663) - (2.69 \times A645)) \times V}{1000 \times W}$$

$$\text{Chlorophyll b (mg/g fresh tissue)} = \frac{((22.9 \times A645) - (4.68 \times A663)) \times V}{1000 \times W}$$

$$\text{Total Chlorophyll (mg/g fresh tissue)} = \frac{((20.2 \times A645) + (8.02 \times A663)) \times V}{1000 \times W}$$

$$\text{Cartenoids (mg/g)} = \frac{(A480 + (0.114 \times A663) - (0.638 \times A645)) \times V}{1000 \times W}$$

به منظور تعیین هدایت روزنای نمونه‌های برگ هر تیمار بین ساعت ۹ تا ۱۱ صبح با استفاده از دستگاه پرومتر اندازه گیری و بر حسب میلی مول بر متر مربع در ثانیه گزارش شد.

از هضم به روش سوزاندن خشک و ترکیب با اسید هیدروکلریک جهت اندازه گیری فسفر کل گیاه استفاده گردید (Chapman & Pratt, 1961). در این راستا ابتدا ۲ گرم نمونه گیاه خشک شده را با دقیق ۰/۱ گرم توزین و در کروزه چینی ریخته شد و در کوره تا ۵۵۰ درجه سلسیوس به مدت ۴ ساعت حرارت داده و خاکستر حاصل

فسفر و آمینوکلات سیلیسیم بر هدایت روزنه ای در سطح احتمال ۵ درصد معنی دار گردید (جدول ۱).

با توجه به نتایج حاصل از مقایسه میانگین داده‌ها (جدول ۲) کاربرد فسفر موجب افزایش غلظت کلروفیل a، کلروفیل b، کلروفیل کل و کارتونوئید برگ‌های توت فرنگی گردید، به طوری که این افزایش در سطوح ۷/۵ و ۱۵ کیلوگرم در هکتار نسبت به شاهد ( $P_1$ ) معنی دار شد. کاربرد آمینوکلات سیلیسیم در هر دو غلظت ۲ و ۴ میلی-لیتر در لیتر موجب افزایش معنی دار میزان کلروفیل a، کلروفیل b و کلروفیل کل نسبت به شاهد شد اما بین غلظت ۲ و ۴ میلی‌لیتر در لیتر اختلاف معنی داری مشاهده نشد.

میزان کلروفیل a، کلروفیل b و کلروفیل کل تحت تأثیر اثرات متقابل فسفر و آمینوکلات سیلیسیم قرار گرفت، به طوری که کاربرد ۱۵ کیلوگرم در هکتار فسفر همراه با غلظت ۲ میلی‌لیتر در لیتر آمینوکلات سیلیسیم ( $P_3Si_2$ ) دارای بیشترین میزان کلروفیل a (۱/۴۸) میلی‌گرم بر گرم وزن تر) کلروفیل b (۰/۹۴ میلی‌گرم بر گرم وزن تر) و کلروفیل کل (۲/۴۲ میلی‌گرم بر گرم وزن تر) بود و به ترتیب سبب افزایش ۴۲/۳۰، ۴۲/۴۲ و ۴۲/۳۵ درصدی کلروفیل a، کلروفیل b و کلروفیل کل نسبت به تیمار شاهد ( $P_1Si_1$ ) شدند. همچنین اختلاف معنی داری بین تیمار  $P_3Si_2$  با  $P_2Si_3$  و  $P_2Si_3$  در غلظت کلروفیل‌های برگ توت فرنگی مشاهده نگردید (جدول ۲). کمترین میزان کلروفیل a، کلروفیل b و کلروفیل کل نیز در غلظت ۴ میلی‌لیتر در لیتر آمینوکلات بدون کاربرد فسفر بدست آمد (جدول ۲). همچنین همانند کلروفیل‌ها، بالاترین میزان کارتونوئید برگ در تیمار  $P_3Si_2$  مشاهده گردید، اما پایین‌ترین میزان آن در تیمار شاهد بدست آمد (جدول ۲).

نتایج مقایسات میانگین اثرات اصلی فسفر و آمینوکلات سیلیسیم نشان داد که با افزایش غلظت فسفر و سیلیسیم

بر حسب نیوتون گزارش شد. به منظور اندازه‌گیری EC و pH عصاره میوه حدود ۱۰ گرم از گوشت میوه در هاون کوبیده و با آب مقطر به حجم ۱۰۰ میلی‌لیتر رسانده سپس در ساتریفیوژ با دور ۶۰۰۰ به مدت ۱۵ دقیقه قرار داده شد و قسمت زیری نمونه را دور ریخته و روشنایر نمونه را جدا کرده و به عنوان عصاره میوه مورد استفاده قرار گرفت. EC و pH عصاره میوه توسط دستگاه EC متر و pH متر قرائت و گزارش شد. عصاره میوه‌هایی که به طور جداگانه از هر تکرار جمع آوری شده بود، روی دستگاه رفرکتومتر (Atago,A-PAL-1, Japan) قرار گرفت و درصد مواد جامد محلول کل (TSS) بر اساس درصد بربیکس قرائت شد. در پایان آزمایش داده‌ها با استفاده از نرم افزار SAS نسخه ۹/۱ مورد تجزیه و تحلیل قرار گرفت و مقایسه میانگین تیمارها در سطح احتمال ۵ درصد با آزمون چند دامنه‌ای دانکن انجام گردید. نمودارها نیز به کمک نرم افزار Excell رسم گردید.

## نتایج و بحث

### شاخص‌های فتوستزی و فیزیولوژیک توت فرنگی

نتایج حاصل از جدول آنالیز واریانس داده‌ها (جدول ۱) نشان داد که اثرات اصلی فسفر، آمینوکلات سیلیسیم و اثرات متقابل فسفر و آمینوکلات سیلیسیم بر میزان کلروفیل a، کلروفیل b و کلروفیل کل در سطح احتمال ۱ درصد معنی دار گردید. در حالی که اثرات اصلی فسفر و اثر متقابل فسفر و آمینوکلات سیلیسیم بر غلظت کارتونوئیدهای برگ به ترتیب در سطح احتمال ۱ درصد معنی دار بوده است، اما اثرات اصلی آمینوکلات سیلیسیم تاثیر معنی داری بر غلظت کارتونوئیدهای برگ توت فرنگی نداشته است. اثرات اصلی فسفر و آمینوکلات سیلیسیم بر هدایت روزنیه ای در سطح احتمال ۱ درصد معنی دار بوده است. همچنین اثر متقابل

(جدول ۲). بر اساس نتایج مقایسات میانگین در سطوح ۰ و ۷/۵ کیلوگرم در هکتار منوپتاسیم فسفات با افزایش غلظت آمینوکلات سیلیسیم، غلظت فسفر کل گیاه افزایش یافت، در سطح ۱۵ کیلوگرم در هکتار نیز با افزایش غلظت آمینوکلات سیلیسیم تا سطح ۲ میلی لیتر در لیتر غلظت فسفر کل گیاه افزایش معنی داری یافت ولی مجدداً در سطح ۴ میلی لیتر در لیتر کاهش یافت، به گونه‌ای که بالاترین غلظت فسفر کل گیاه (۰/۹۸ درصد) در سطح ۱۵ کیلوگرم در هکتار فسفر و غلظت ۲ میلی لیتر در لیتر آمینوکلات سیلیسیم به دست آمد ( $P_3Si_2$ ) که سبب افزایش ۲۲/۵ درصدی غلظت فسفر بوته‌های توتفرنگی نسبت به غلظت صفر آمینوکلات سیلیسیم در همین سطح فسفر گردید ( $P_3Si_1$ ) (شکل ۱). ولی در سطح ۳۰ کیلوگرم در هکتار منوپتاسیم فسفات، نتایج متفاوت از سایر سطوح بوده است، به گونه‌ای که با افزایش غلظت آمینوکلات سیلیسیم غلظت فسفر کل گیاه کاهش معنی داری یافت (شکل ۱). علاوه بر این غلظت فسفر کل بوته‌های توتفرنگی در سطح ۷/۵ کیلوگرم در هکتار فسفر و محلول پاشی ۲ و ۴٪ میلی لیتر در لیتر آمینوکلات سیلیسیم (به ترتیب ۰/۶۶ و ۰/۶۴ درصد) اختلاف معنی داری با سطح ۳۰ کیلوگرم در هکتار فسفر و بدون محلول پاشی آمینوکلات سیلیسیم (۰/۶۶ درصد) نداشت که از نتایج قابل توجه این پژوهش می‌باشد (شکل ۱).

هدایت روزنه‌ای به طور معنی‌داری افزایش یافت و بیش‌ترین میزان هدایت روزنه‌ای در بالاترین غلظت‌های این دو ترکیب مشاهده گردید (جدول ۱). نتایج اثر متقابل غلظت‌های مختلف فسفر و آمینوکلات سیلیسیم نشان داد که در سطوح صفر و ۲ میلی لیتر در لیتر آمینوکلات سیلیسیم با افزایش غلظت فسفر تا سطح ۱۵ کیلوگرم در هکتار، هدایت روزنه‌ای برگ‌های توتفرنگی به طور معنی‌داری افزایش (به غیر از سطح ۷/۵ کیلوگرم در هکتار) و سپس در سطح ۲ میلی لیتر در لیتر آمینوکلات سیلیسیم مجدداً کاهش یافت (جدول ۲)، اگرچه در غلظت ۴ میلی‌لیتر در لیتر آمینوکلات سیلیسیم بالاترین میزان هدایت روزنه‌ای در سطح ۳۰ کیلوگرم در هکتار منوپتاسیم فسفات مشاهده گردید (جدول ۲).

بر اساس نتایج تجزیه واریانس، اثرات اصلی فسفر، آمینوکلات سیلیسیم و اثرات متقابل فسفر و آمینوکلات سیلیسیم بر غلظت فسفر کل شاخصاره در سطح احتمال ۱ درصد معنی‌دار گردید (جدول ۱). نتایج مقایسات میانگین نشان داد که در سطوح مختلف اعمال کود منوپتاسیم فسفات، با افزایش غلظت فسفر تا سطح ۱۵ کیلوگرم در هکتار غلظت فسفر بوته‌های توتفرنگی به طور معنی‌داری افزایش یافت و مجدداً در سطح ۳۰ کیلوگرم در هکتار کاهش یافت. همچنین پایین‌ترین غلظت فسفر در تیمار شاهد آمینوکلات سیلیسیم و بالاترین غلظت فسفر در تیمار ۲ میلی لیتر در لیتر آمینوکلات سیلیسیم مشاهده گردید.

**Table 1.** Variance analysis of photosynthetic and physiological characteristics of strawberry under different levels of phosphorus fertilizer and Si-aminochelate

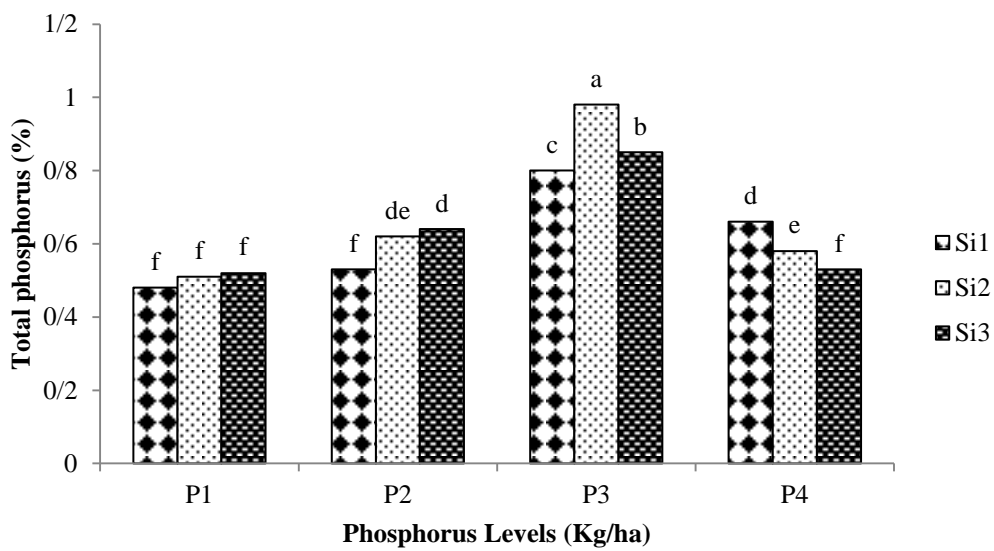
| S.O.V                 | df | Chlorophyll<br>a | Chlorophyll<br>b | Total<br>Chlorophyll | Carotenoid | Stomatal<br>conductance | Total<br>phosphorus |
|-----------------------|----|------------------|------------------|----------------------|------------|-------------------------|---------------------|
| Block                 | 2  | 0.02 ns          | 0.01 ns          | 0.07 ns              | 0.000 ns   | 1408.36 **              | 0.001 ns            |
| Phosphorus (P)        | 3  | 0.13 **          | 0.05 **          | 0.36 **              | 0.025 **   | 1602.00 **              | 0.24 **             |
| Error a               | 6  | 0.011            | 0.004            | 0.03                 | 0.0002     | 285.02                  | 0.0008              |
| Si- aminochelate (Si) | 2  | 0.15 **          | 0.05 **          | 0.41 **              | 0.001 ns   | 9307.44 **              | 0.009 **            |
| P×Si                  | 6  | 0.21 **          | 0.07 **          | 0.55 **              | 0.002 **   | 601.00 *                | 0.01 **             |
| Error b               | 16 | 0.012            | 0.004            | 0.031                | 0.0005     | 177.02                  | 0.0006              |
| CV(%)                 | -  | 9.52             | 8.90             | 9.27                 | 6.84       | 5.49                    | 4.06                |

\*,\*\* and ns: Significant at 5% and 1% level probability and no significant, respectively.

**Table 2.** The main and interaction effects of phosphorus fertilizer and Si- aminochelate on the photosynthetic and physiological characteristics of strawberry

| Treatment                            | Chlorophyll<br>a<br>(mg/g) | Chlorophyll<br>b<br>(mg/g) | Total<br>Chlorophyll<br>(mg/g) | Total<br>Carotenoid<br>(mg/g) | Stomatal<br>conductance<br>(mmol/m <sup>2</sup> s) |
|--------------------------------------|----------------------------|----------------------------|--------------------------------|-------------------------------|--|
| <b>Phosphorus (Kg/ha)</b>            |                            |                            |                                |                               |  |
| 0 (P <sub>1</sub> )                  | 1.03 c                     | 0.65 c                     | 1.69 c                         | 0.28 d                        | 240.00 ab  |
| 7.5 (P <sub>2</sub> )                | 1.22 ab                    | 0.77 ab                    | 2.00 ab                        | 0.35 c                        | 224.66 b   |
| 15 (P <sub>3</sub> )                 | 1.32 a                     | 0.84 a                     | 2.16 a                         | 0.40 a                        | 248.55 a   |
| 30 (P <sub>4</sub> )                 | 1.12 bc                    | 0.71 bc                    | 1.83 bc                        | 0.38 b                        | 255.66 a   |
| <b>Si- aminochelate (ml/L)</b>       |                            |                            |                                |                               |  |
| 0 (Si <sub>1</sub> )                 | 1.04 b                     | 0.66 b                     | 1.71 b                         | 0.34                          | 215.83 c   |
| 2 (Si <sub>2</sub> )                 | 1.25 a                     | 0.79 a                     | 2.05 a                         | 0.36                          | 239.50 b   |
| 4 (Si <sub>3</sub> )                 | 1.23 a                     | 0.77 a                     | 2.00 a                         | 0.36                          | 271.33 a   |
| <b>Phosphorus × Si- aminochelate</b> |                            |                            |                                |                               |  |
| P <sub>1</sub> × Si <sub>1</sub>     | 1.04 b                     | 0.66 c                     | 1.70 c                         | 0.25 g                        | 216.00 fg  |
| P <sub>2</sub> × Si <sub>1</sub>     | 1.13 b                     | 0.72 bc                    | 1.85 bc                        | 0.32 de                       | 195.00 g   |
| P <sub>3</sub> × Si <sub>1</sub>     | 0.99 b                     | 0.64 c                     | 1.63 c                         | 0.38 bc                       | 227.33 def   |
| P <sub>4</sub> × Si <sub>1</sub>     | 1.00 b                     | 0.63 c                     | 1.64 c                         | 0.40 ab                       | 225.00 ef  |
| P <sub>1</sub> × Si <sub>2</sub>     | 1.38 a                     | 0.87 a                     | 2.25 a                         | 0.28 fg                       | 240.00 cdef  |
| P <sub>2</sub> × Si <sub>2</sub>     | 1.10 b                     | 0.70 c                     | 1.81 c                         | 0.36 cd                       | 230.00 def   |
| P <sub>3</sub> × Si <sub>2</sub>     | 1.48 a                     | 0.94 a                     | 2.42 a                         | 0.44 a                        | 253.00 bcd   |
| P <sub>4</sub> × Si <sub>2</sub>     | 1.04 b                     | 0.66 c                     | 1.70 c                         | 0.37 bcd                      | 235.00 def   |
| P <sub>1</sub> × Si <sub>3</sub>     | 0.67 c                     | 0.43 d                     | 1.11 d                         | 0.31 ef                       | 264.00 bc  |
| P <sub>2</sub> × Si <sub>3</sub>     | 1.43 a                     | 0.90 a                     | 2.33 a                         | 0.38 bc                       | 249.00 bcde  |
| P <sub>3</sub> × Si <sub>3</sub>     | 1.48 a                     | 0.93 a                     | 2.41 a                         | 0.39 bc                       | 265.33 b   |
| P <sub>4</sub> × Si <sub>3</sub>     | 1.33 a                     | 0.83 ab                    | 2.16 ab                        | 0.36 bcd                      | 307.00 a   |

Mean with same letter are not significantly different according to Duncan test (p≤0.05)



**Figure 1. The interaction effect of phosphorus fertilizer and Si-aminochelate different levels on total phosphorus of strawberry**

(2005). کاربرد سیلیسیم موجب افزایش میزان تبادلات گازی می شود که مرتبط با ساختار برگ، افزایش محتوای کلروفیل و فعالیت ریبولوز بیس فسفات کربوکسیلاز می باشد (Romero-Aranda et al., 2006). سیلیسیم در چرخه های مانند چرخه های کالوین، تری کربوکسیلیک اسید و پنتوز فسفات ادغام می شود و باعث تحریک پروتئین های مربوط به فتوستتر می شود و محافظت نوری گیاهان را تضمین می کند (Pinedo-Guerrero et al., 2020). یافته های قبلی نشان داد که دسترسی ارتوفسفات در تیمارهای فسفری می تواند از طریق اسیدی کردن ریزوفسفر توسط جریان  $H^+$  و ترشح اسیدهای آلی افزایش یابد (Shabani, 2023). یک استراتژی موثر برای مقابله با تنفس کمبود فسفر، ترشح آنیون های اسید آلی (مانند مالات، سیترات و اگرالات) توسط ریشه های گیاه است (Hu et al., 2021). شواهد کنونی نشان می دهد که کاربرد Si به شدت باعث افزایش ترشح مالات و سیترات توسط ریشه می شود، به طوری که مقدار این آنیون های آزاد شده توسط ریشه همیشه بیشتر از سایر تیمارهای آزمایش شده بود (Kostic et al., 2017).

براساس نتایج بدست آمده از جدول ۲ کاربرد آمینوکلات سیلیسیم و فسفر موجب افزایش میزان رنگیزه های فتوستتری از قبیل کلروفیل و کاروتینوئید و بهبود وضعیت هدایت روزنہای توت فرنگی شد. این نتایج با یافته های Li et al. (2021) مطابقت دارد. بر اساس نتایج آنها، استفاده از فسفر مواد تولید کننده کلروفیل از جمله جذب عناصر غذایی را افزایش و در نتیجه میزان این رنگیزه را افزایش می دهد که موجب بهبود توانایی فتوستتری گیاه می گردد. یافته های پژوهشگران نشان داد که افزودن فسفر باعث تحریک متابولیسم گیاه، افزایش غلظت کلروفیل a و b، اسیدهای آمینه کل و پروتئین ها در برگ شد (El-Bassiony et al., 2010). همچنین (Souri 2016) گزارش کرد که آمینوکلات ها جدید ترین ترکیبات در تغذیه گیاه و تولیدات کشاورزی هستند که موجب افزایش میزان کلروفیل می شوند. سیلیسیم از طریق جلوگیری از تخریب کلروفیل، افزایش کارایی فتوسیستم II، فعالیت آنزیم ریبولوز بیس فسفات کربوکسیلاز و به دنبال آن افزایش فعالیت چرخه کالوین موجب افزایش میزان رنگیزه های فتوستتری از جمله کلروفیل می شود (Al-aghabary et al., 2017).

بالاترین میزان رسید، به گونه‌ای که به ترتیب سبب افزایش ۳۶/۴۸ و ۸۶/۱۳ درصدی وزن تک میوه و وزن کل میوه نسبت به تیمار شاهد ( $P_1$ ) شد (جدول ۴). روند تعداد میوه ولی تحت تاثیر افزایش غلظت فسفر معکوس بوده و با افزایش غلظت فسفر روند کاهشی را به نمایش گذاشت (جدول ۴). همچنین تحت تاثیر محلول پاشی آمینوکلات سیلیسیم بیشترین وزن تک میوه در تیمار ۴ میلی لیتر در لیتر مشاهده شد که اختلاف معنی داری با تیمار ۲ میلی لیتر در لیتر نداشت و بیشترین وزن کل میوه (۵۲۶/۱۵ گرم) نیز در تیمار ۴ میلی لیتر در لیتر مشاهده شد (جدول ۴).

برهمکنش فسفر و آمینوکلات سیلیسیم وزن تک میوه را افزایش داد که این افزایش در اکثر موارد نسبت به شاهد معنی دار بود. در بین همه تیمارها بیشترین وزن تک میوه (۳۳/۸۷ گرم) مربوط به تیمار ۱۵ کیلوگرم در هکتار فسفر همراه با محلول پاشی ۲ میلی لیتر در لیتر آمینوکلات سیلیسیم بود که از نظر آماری اختلاف معنی داری با تیمار ۱۵ کیلوگرم در هکتار فسفر و سطح ۴ میلی لیتر در لیتر آمینوکلات سیلیسیم نداشت (۳۱/۶۱ گرم) (جدول ۴). بر اساس نتایج مقایسات میانگین، در تمام سطوح محلول پاشی آمینوکلات سیلیسیم با افزایش غلظت فسفر تا سطح ۱۵ کیلوگرم در هکتار، وزن کل میوه به طور معنی داری افزایش یافت. بالاترین میزان وزن کل میوه (۵۹۹/۹۳ گرم) در تیمار ۱۵ کیلوگرم در هکتار فسفر و سطح ۴ میلی لیتر در لیتر آمینوکلات سیلیسیم مشاهده گردید که اختلاف معنی داری با تیمار ۱۵ کیلوگرم در هکتار فسفر و سطح ۲ میلی لیتر در لیتر آمینوکلات سیلیسیم نداشت (جدول ۴). تیمار  $P_3Si_2$  و  $P_3Si_3$  در قیاس با تیمار شاهد ( $P_1Si_1$ ) به ترتیب سبب افزایش ۶۷/۶۲ و ۶۸/۳۳ درصدی وزن کل میوه‌های توت-فرنگی گردید (جدول ۴).

یک همبستگی مثبتی بین دسترسي سیلیسیم و تحرک فسفر در گیاه وجود دارد. علاوه بر این، استعمال خارجی سیلیسیم نیز به افزایش فعال‌سازی فسفر از فازهای Fe-P در سطوح معدنی کمک می‌کند (Schaller et al., 2019). بسیاری از مطالعات نشان داده‌اند که افزایش در دستریس بودن فسفر خاک تحت Si بالا را می‌توان با رقبابت Si با فسفر برای اتصال در سطح مواد معدنی خاک که منجر به تحرک فسفر می‌شود، توضیح داد (Neu et al., 2017). بر اساس یافته‌های قبلی، توانایی رقبابت Si در برآور فسفر ممکن است وابسته به pH باشد. اثر Si بر تحرک فسفر خاک ممکن است به شکل کود Si، سطح Si، کانی شناسی خاک، و جذب فسفر گیاه بستگی داشته باشد (Hu et al., 2021). همچنین کاهش جذب فسفر در سطوح بالای فسفر و تحت کاربرد Si نیز در کشت هیدروپونیک برنج گزارش گردید که در توافق با یافته‌های این آزمایش می‌باشد (Ma & .(Takahashi, 1990

## شاخص‌های عملکردی توت‌فرنگی

براساس نتایج حاصل از جدول آنالیز واریانس داده‌ها (جدول ۳) وزن تک میوه، تعداد میوه و وزن کل میوه تحت تأثیر اثرات اصلی فسفر در سطح احتمال ۱ درصد معنی دار گردید. اثرات اصلی سیلیسیم بر وزن تک میوه و وزن کل میوه در سطح احتمال ۱ درصد معنی دار گردید اما بر تعداد میوه تأثیر معنی داری نداشته است. همچنین اثرات متقابل فسفر و آمینوکلات سیلیسیم بر وزن تک میوه و وزن کل میوه به ترتیب در سطح احتمال ۵ و ۱ درصد معنی دار شد اما در تعداد میوه‌های توت‌فرنگی اختلاف معنی داری مشاهده نگردید (جدول ۳).

وزن تک میوه و وزن کل میوه تحت تأثیر افزایش غلظت فسفر افزایش یافت و در غلظت ۱۵ کیلوگرم در هکتار به

**Table 3. Variance analysis of yield characteristics of strawberry under different levels of phosphorus fertilizer and Si- aminochelate**

| S.O.V                 | df | Single fruit weight | Number of fruit | Total fruit weight |
|-----------------------|----|---------------------|-----------------|--------------------|
| Block                 | 2  | 0.75 ns             | 1.75 ns         | 21.87 ns           |
| Phosphorus (P)        | 3  | 377.81 **           | 76.66 **        | 41558.04 **        |
| Error a               | 6  | 1.01                | 1.86            | 4.66               |
| Si- aminochelate (Si) | 2  | 21.35 **            | 0.00 ns         | 13779.20 **        |
| P×Si                  | 6  | 6.04 **             | 2.00 ns         | 3101.96 **         |
| Error b               | 16 | 2.19                | 2.45            | 23.12              |
| CV(%)                 | -  | 6.57                | 6.71            | 0.96               |

\*, \*\* and ns: Significant at 5% and 1% level probability and no significant, respectively.

**Table 4. The main and interaction effects of phosphorus fertilizer and Si- aminochelate on the yield characteristics of strawberry**

| Treatment                           | Single fruit weight (g) | Number of fruit    | Total fruit weight (g/plant) |
|-------------------------------------|-------------------------|--------------------|------------------------------|
| <b>Phosphorus (Kg/ha)</b>           |                         |                    |                              |
| 0 (P <sub>1</sub> )                 | 17.09 <sup>d</sup>      | 24.11 <sup>b</sup> | 419.51 <sup>d</sup>          |
| 7.5 (P <sub>2</sub> )               | 21.74 <sup>b</sup>      | 21.44 <sup>c</sup> | 472.95 <sup>c</sup>          |
| 15 (P <sub>3</sub> )                | 31.81 <sup>a</sup>      | 20.66 <sup>c</sup> | 572.56 <sup>a</sup>          |
| 30 (P <sub>4</sub> )                | 19.43 <sup>c</sup>      | 27.11 <sup>a</sup> | 537.12 <sup>b</sup>          |
| <b>Si- aminochelate (ml/L)</b>      |                         |                    |                              |
| 0 (Si <sub>1</sub> )                | 20.98 <sup>b</sup>      | 23.33              | 462.11 <sup>c</sup>          |
| 2 (Si <sub>2</sub> )                | 23.24 <sup>a</sup>      | 23.33              | 513.34 <sup>b</sup>          |
| 4 (Si <sub>3</sub> )                | 23.24 <sup>a</sup>      | 23.33              | 526.15 <sup>a</sup>          |
| <b>Phosphorus × Si-aminochelate</b> |                         |                    |                              |
| P <sub>1</sub> × Si <sub>1</sub>    | 15.13 <sup>e</sup>      | 23.33              | 356.40 <sup>i</sup>          |
| P <sub>2</sub> × Si <sub>1</sub>    | 19.57 <sup>d</sup>      | 22.00              | 430.80 <sup>g</sup>          |
| P <sub>3</sub> × Si <sub>1</sub>    | 29.96 <sup>b</sup>      | 20.33              | 520.33 <sup>d</sup>          |
| P <sub>4</sub> × Si <sub>1</sub>    | 19.27 <sup>d</sup>      | 27.66              | 540.93 <sup>c</sup>          |
| P <sub>1</sub> × Si <sub>2</sub>    | 16.40 <sup>e</sup>      | 25.00              | 418.76 <sup>h</sup>          |
| P <sub>2</sub> × Si <sub>2</sub>    | 23.00 <sup>c</sup>      | 20.66              | 487.00 <sup>f</sup>          |
| P <sub>3</sub> × Si <sub>2</sub>    | 33.87 <sup>a</sup>      | 20.33              | 597.43 <sup>a</sup>          |
| P <sub>4</sub> × Si <sub>2</sub>    | 19.69 <sup>d</sup>      | 27.33              | 550.16 <sup>b</sup>          |
| P <sub>1</sub> × Si <sub>3</sub>    | 19.75 <sup>d</sup>      | 24.00              | 483.36 <sup>f</sup>          |
| P <sub>2</sub> × Si <sub>3</sub>    | 22.66 <sup>c</sup>      | 21.66              | 501.06 <sup>e</sup>          |
| P <sub>3</sub> × Si <sub>3</sub>    | 31.61 <sup>ab</sup>     | 21.33              | 599.93 <sup>a</sup>          |
| P <sub>4</sub> × Si <sub>3</sub>    | 19.35 <sup>d</sup>      | 26.33              | 520.26 <sup>d</sup>          |

Mean with same letter are not significantly different according to Duncan test ( $p \leq 0.05$ )

2000). عملکرد محصولات به عواملی از جمله رشد زایشی و وزن میوه بستگی دارد. تغذیه فسفر بر عکس نیتروژن که رشد رویشی را افزایش می‌دهد و رشد زایشی را به تاخیر می‌اندازد، موجب ایجاد تعادل در رشد رویشی و زایشی می‌گردد که درنهایت موجب بهبود عملکرد می‌گردد. به

مطابق با نتایج به دست آمده، استفاده از فسفر موجب بهبود خصوصیات کمی و کیفی میوه در توتفرنگی گردید. کاربرد فسفر به علت افزایش میزان رنگیزه‌های فتوستتری و سهولت جذب عناصر غذایی از جمله پتابسیم، عملکرد و کیفیت محصولات را افزایش می‌دهند ( Khan et al., 2000).

## شاخص‌های کمی و کیفی میوه توت‌فرنگی

براساس نتایج به دست آمده از جدول تجزیه واریانس داده‌ها (جدول ۵) اثرات اصلی فسفر در سطح احتمال ۵ درصد بر میزان درصد ماده خشک میوه و pH عصاره میوه و در سطح احتمال ۱ درصد بر طول، قطر، سفتی، EC عصاره میوه و مواد جامد محلول کل میوه توت‌فرنگی معنی دار بود (جدول ۵). همچنین اثر اصلی آمینوکلات سیلیسیم در سطح احتمال ۵ درصد بر قطر و مواد جامد محلول کل میوه و در سطح احتمال ۱ درصد بر درصد ماده خشک، طول و pH سفتی میوه معنی دار بود، اما تاثیر معنی‌داری بر EC و pH عصاره میوه‌های توت‌فرنگی نداشت (جدول ۵). بر اساس نتایج اثر متقابل فسفر و آمینوکلات سیلیسیم بر درصد ماده خشک و pH عصاره میوه در سطح احتمال ۱ درصد معنی دار بوده است، اما تاثیر معنی‌داری بر طول، قطر، سفتی، EC و مواد جامد محلول کل میوه به نمایش نگذاشت (جدول ۵).

بر اساس نتایج مقایسات میانگین با افزایش غلظت فسفر تا سطح ۱۵ کیلوگرم در هکتار، درصد ماده خشک میوه، طول، قطر و سفتی و مواد جامد محلول کل میوه‌های توت‌فرنگی افزایش یافت. اما افزایش غلظت این عنصر به ۳۰ کیلوگرم در هکتار باعث کاهش معنی دار این شاخص‌ها گردید (شکل ۲ و جدول ۶). مقایسه میانگین داده‌های حاصل از اثرات اصلی (جدول ۶) نشان داد که کاربرد فسفر در غلظت ۷/۵ و ۱۵ کیلوگرم در هکتار موجب افزایش معنی دار EC عصاره میوه گردید و در غلظت ۷/۵ کیلوگرم به بیشترین میزان رسید که افزایش ۱۷/۱۸، ۸/۶۹، ۱۹/۰۴ و ۸/۰۴ درصدی به ترتیب نسبت به غلظت صفر، ۱۵ و ۳۰ کیلوگرم در هکتار فسفر داشت. نتایج حاصل از جدول ۶ نشان داد افزایش غلظت فسفر موجب افزایش معنی دار pH عصاره میوه گردید. با توجه به مقایسات میانگین اثرات اصلی آمینوکلات سیلیسیم، درصد ماده خشک، طول و قطر میوه

طور کلی فسفر نقش عمده‌ای در افزایش گلدهی زودرس، تشکیل و بلوغ میوه دارد، همچنین باعث افزایش تولید میوه می‌شود (Ahmad et al., 2017). فسفر رشد سالم ریشه را افزایش می‌دهد که به استفاده موثر از آب و مواد مغذی کمک می‌کند و از این طریق رشد ساقه و شاخ و برگ و تولید رنگیزه‌های فتوسترنزی را افزایش می‌دهد. در نتیجه Ahmad et al., (2017) مشخص شده است که محلول پاشی برگی عناصر در طول رشد محصول می‌تواند وضعیت معدنی گیاهان را بهبود بخشد و عملکرد و کیفیت محصول را افزایش دهد (El-Bassiony et al., 2010). در بسیاری از مطالعات، افزایش عملکرد پس از استفاده از محلول پاشی با سیلیسیم مشاهده شد که این ناشی از بهبود همه یا بخشی از اجزای عملکرد بود. در مورد بیشتر غلات کاربرد این ترکیب تراکم سبله در هنگام برداشت، تعداد دانه در هر سبله و وزن هزار دانه را افزایش داد (Artyszak, 2018). کاربرد سیلیسیم باعث افزایش عملکرد تجاری گوجه فرنگی و کاهش بروز میوه‌های ترک خورده شد (Liang et al., 2015). بهبود کیفیت و افزایش عملکرد میوه‌ها در اثر استفاده از سیلیسیم می‌تواند به علت نقش این عنصر مفید در افزایش تعداد گل و میوه در هر بوته، افزایش سفتی و سالم بودن میوه‌ها باشد (Artyszak, 2018). بر اساس نتایج Khosrofard et al. (2017) با کاربرد ریشه‌ای و محلول‌پاشی سیلیسیم بر توت‌فرنگی در شرایط تنفس شوری، دیواره‌های یاخته‌های روپوست با لایه‌های محکم سیلیسیم آغشته و در برابر از دست رفتن آب به‌وسیله تعرق کوتیکولی محافظت می‌شوند. افزون بر دیواره‌های یاخته‌ای روپوست برگ‌ها، سیلیسیم در دیواره‌های یاخته آوند چوبی نیز قرار می‌گیرد و از فروریختن آوندها در شرایط تعرق زیاد جلوگیری و از این طریق به بهبود عملکرد گیاه کمک می‌کند.

سیلیسیم (شاهد) بیشترین pH عصاره میوه در غلظت ۱۵ کیلوگرم در هکتار فسفر، در محلول پاشی با غلظت ۲ میلی لیتر در لیتر آمینوکلات سیلیسیم بیشترین pH عصاره میوه در غلظت ۳۰ کیلوگرم در هکتار فسفر و در محلول پاشی با غلظت ۴ میلی لیتر در لیتر آمینوکلات سیلیسیم بیشترین pH عصاره میوه در غلظت ۷/۵ کیلوگرم در هکتار فسفر مشاهده گردید (جدول ۶). در بالاترین غلظت آمینوکلات سیلیسیم (۴ میلی لیتر بر لیتر) همراه با کاربرد فسفر ۷/۵ کیلوگرم در هکتار ( $P_2Si_3$ ) بیشترین میزان pH عصاره میوه (۳/۳۷) بدست آمد که نسبت به اغلب تیمارها معنی دار گردید و افزایش ۸/۳۶ درصدی نسبت به شاهد داشت (جدول ۶). همچنین اختلاف معنی داری بین تیمار  $P_2Si_3$  با تیمارهای  $P_3Si_1$ ,  $P_4Si_1$  و  $P_4Si_2$  مشاهده نگردید (جدول ۶).

تا سطح ۲ میلی لیتر در لیتر افزایش و مجدداً در سطح ۴ میلی لیتر در لیتر کاهش یافت، در حالی که سفتی و مواد جامد محلول کل میوه با افزایش سطوح محلول پاشی آمینوکلات سیلیسیم افزایش یافت و بیشترین مقادیر در سطح ۴ میلی لیتر در لیتر مشاهده گردید (جدول ۶).

بر همکنش غلظت های مختلف فسفر و آمینوکلات سیلیسیم نشان داد که درصد ماده خشک میوه در سطوح ۲ و ۴ میلی لیتر در لیتر آمینوکلات سیلیسیم با افزایش غلظت فسفر تا سطح ۱۵ کیلوگرم در هکتار افزایش و مجدداً کاهش یافت (جدول ۶). بالاترین درصد ماده خشک میوه ۷/۳۸ در تیمار  $P_3Si_2$  مشاهده گردید که اختلاف معنی داری با تیمارهای  $P_2Si_2$  (۷/۲۷ درصد) و  $P_3Si_3$  (۶/۹۷) نشان نداد. اثر متقابل فسفر و آمینوکلات سیلیسیم بر pH عصاره میوه روند متفاوت تری را به نمایش گذاشت. به گونه ای که، در محلول پاشی با غلظت ضعف آمینوکلات

Table 5. Variance analysis of quality characteristics of strawberry under different levels of phosphorus fertilizer and Si- aminocholeate

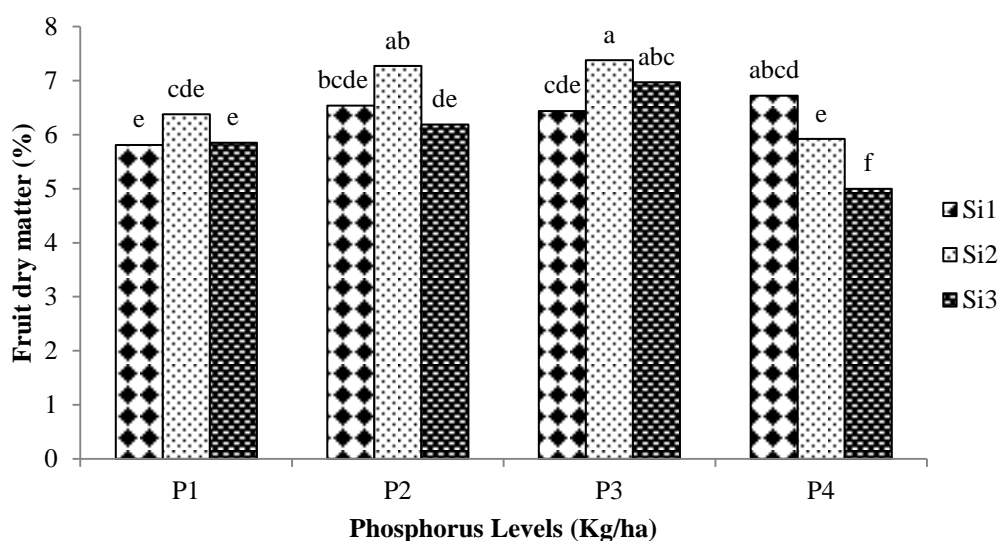
| S.O.V                | df | Fruit dry matter | Fruit length | Fruit diameter | Firmness | EC       | pH       | TSS      |
|----------------------|----|------------------|--------------|----------------|----------|----------|----------|----------|
| Block                | 2  | 0.35 ns          | 0.02 ns      | 0.03 ns        | 0.12 ns  | 0.003 ns | 0.021 ns | 0.16 ns  |
| Phosphorus (P)       | 3  | 2.30 *           | 1.15 **      | 2.39 **        | 15.46 ** | 0.026 ** | 0.033 *  | 10.72 ** |
| Error a              | 6  | 0.34             | 0.07         | 0.04           | 0.24     | 0.001    | 0.004    | 0.19     |
| Si-aminocholate (Si) | 2  | 1.62 **          | 0.40 **      | 0.14 *         | 6.10 **  | 0.001 ns | 0.008 ns | 2.10 *   |
| P×Si                 | 6  | 0.82 **          | 0.10 ns      | 0.05 ns        | 0.73 ns  | 0.007 ns | 0.06 **  | 0.21 ns  |
| Error b              | 16 | 0.16             | 0.04         | 0.04           | 0.51     | 0.004    | 0.007    | 0.45     |
| CV(%)                | -  | 6.32             | 5.09         | 5.89           | 5.21     | 10.08    | 2.66     | 7.80     |

\*, \*\* and ns: Significant at 5% and 1% level probability and no significant, respectively.

**Table 6. The main and interaction effects of phosphorus fertilizer and Si- amino chelate on quality characteristics of strawberry**

| Treatment                          | Fruit length (cm) | Fruit diameter (cm) | Firmness (N)       | EC (dS/m)         | pH                  | TSS (%)           |
|------------------------------------|-------------------|---------------------|--------------------|-------------------|---------------------|-------------------|
| <b>Phosphorus (Kg/ha)</b>          |                   |                     |                    |                   |                     |                   |
| 0 (P <sub>1</sub> )                | 3.77 <sup>b</sup> | 3.00 <sup>b</sup>   | 11.98 <sup>c</sup> | 0.64 <sup>c</sup> | 3.08 <sup>c</sup>   | 7.66 <sup>b</sup> |
| 7.5 (P <sub>2</sub> )              | 4.06 <sup>b</sup> | 3.20 <sup>b</sup>   | 13.98 <sup>b</sup> | 0.75 <sup>a</sup> | 3.18 <sup>ab</sup>  | 9.43 <sup>a</sup> |
| 15 (P <sub>3</sub> )               | 4.62 <sup>a</sup> | 4.16 <sup>a</sup>   | 15.13 <sup>a</sup> | 0.69 <sup>b</sup> | 3.11 <sup>bc</sup>  | 9.66 <sup>a</sup> |
| 30 (P <sub>4</sub> )               | 4.04 <sup>b</sup> | 3.23 <sup>b</sup>   | 14.02 <sup>b</sup> | 0.63 <sup>c</sup> | 3.21 <sup>a</sup>   | 7.66 <sup>b</sup> |
| <b>Si- amino chelate (ml/L)</b>    |                   |                     |                    |                   |                     |                   |
| 0 (Si <sub>1</sub> )               | 3.96 <sup>b</sup> | 3.28 <sup>b</sup>   | 12.95 <sup>b</sup> | 0.67              | 3.17                | 8.13 <sup>b</sup> |
| 2 (Si <sub>2</sub> )               | 4.32 <sup>a</sup> | 3.50 <sup>a</sup>   | 14.13 <sup>a</sup> | 0.67              | 3.12                | 8.75 <sup>a</sup> |
| 4 (Si <sub>3</sub> )               | 4.09 <sup>b</sup> | 3.40 <sup>ab</sup>  | 14.24 <sup>a</sup> | 0.69              | 3.13                | 8.93 <sup>a</sup> |
| <b>Phosphorus×Si-amino chelate</b> |                   |                     |                    |                   |                     |                   |
| P <sub>1</sub> ×Si <sub>1</sub>    | 3.48              | 2.86                | 10.95              | 0.62              | 3.11 <sup>bcd</sup> | 7.35              |
| P <sub>2</sub> ×Si <sub>1</sub>    | 3.69              | 3.23                | 13.58              | 0.74              | 3.04 <sup>d</sup>   | 8.75              |
| P <sub>3</sub> ×Si <sub>1</sub>    | 4.60              | 3.93                | 14.52              | 0.65              | 3.31 <sup>abc</sup> | 8.90              |
| P <sub>4</sub> ×Si <sub>1</sub>    | 4.08              | 3.12                | 12.78              | 0.69              | 3.25 <sup>abc</sup> | 7.55              |
| P <sub>1</sub> ×Si <sub>2</sub>    | 4.09              | 3.19                | 12.15              | 0.65              | 3.10 <sup>cd</sup>  | 7.70              |
| P <sub>2</sub> ×Si <sub>2</sub>    | 4.27              | 3.24                | 14.04              | 0.78              | 3.13 <sup>bcd</sup> | 9.70              |
| P <sub>3</sub> ×Si <sub>2</sub>    | 4.82              | 4.40                | 15.22              | 0.67              | 3.02 <sup>d</sup>   | 10.00             |
| P <sub>4</sub> ×Si <sub>2</sub>    | 4.12              | 3.19                | 15.12              | 0.59              | 3.26 <sup>ab</sup>  | 7.60              |
| P <sub>1</sub> ×Si <sub>3</sub>    | 3.74              | 2.97                | 12.85              | 0.66              | 3.03 <sup>d</sup>   | 7.95              |
| P <sub>2</sub> ×Si <sub>3</sub>    | 4.23              | 3.13                | 14.32              | 0.73              | 3.37 <sup>a</sup>   | 9.85              |
| P <sub>3</sub> ×Si <sub>3</sub>    | 4.45              | 4.15                | 15.65              | 0.77              | 3.00 <sup>d</sup>   | 10.10             |
| P <sub>4</sub> ×Si <sub>3</sub>    | 3.93              | 3.38                | 14.17              | 0.62              | 3.13 <sup>bcd</sup> | 7.85              |

Mean with same letter are not significantly different according to Duncan test ( $p \leq 0.05$ )



**Figure 1. Interaction effect of different levels of phosphorus fertilizer and Si-amino chelate on fruit dry matter percentage of strawberry**

آنتوسیانین در مقایسه با شاهد نشان دادند. به طور کلی، با افزایش میزان سیلیکات پتاسیم تا ۰/۶ گرم در لیتر، کیفیت شیمیایی میوه افزایش یافت (Nada, 2020).

## نتیجه‌گیری

یافته‌های ما در این آزمایش نشان داد که با افزایش سطح فسفر تا ۱۵ کیلوگرم در هکتار و محلول پاشی آمینوکلات سیلیسیم تا غلظت ۲ میلی‌لیتر در لیتر، وزن تک میوه توت-فرنگی به طور قابل توجهی افزایش یافت و سهم موثرتری را نسبت به تعداد میوه در وزن کل میوه‌های یک بوته توت-فرنگی ایفا کرد. به نظر می‌رسد افزایش غلظت رنگدانه‌های فتوستتری و دسترسی بیشتر فسفر تحت محلول پاشی آمینوکلات سیلیسیم در تیمارهای فسفری نقش کلیدی را در بهبود وزن کل میوه‌های یک بوته توت-فرنگی ایفا کرده است. همچنین بر اساس نتایج این مطالعه، سهم اثرات اصلی فسفر و آمینوکلات سیلیسیم بر شاخص‌های کیفی توت-فرنگی بیشتر از اثرات متقابل آن‌ها بوده است، اگرچه در صد pH عصاره و ماده خشک میوه به طور معنی‌داری تحت تاثیر برهمکنش این دو ترکیب قرار گرفت که می‌تواند نقش موثری در مزه توت-فرنگی داشته باشد. در این راستا عدم اختلاف معنی‌دار بین سطوح ۷/۵ و ۱۵ کیلوگرم در هکتار فسفر با محلول پاشی ۲ میلی‌لیتر در لیتر آمینوکلات سیلیسیم و سطح ۳۰ کیلوگرم در هکتار فسفر و عدم محلول پاشی می‌تواند از نتایج جالب توجه این پژوهش باشد که به نقش موثر محلول پاشی آمینوکلات سیلیسیم در بهبود کیفیت میوه در سطوح کم و متوسط فسفر اشاره دارد. با توجه به نتایج حاصل، استفاده از غلظت ۲ میلی‌لیتر در آمینوکلات سیلیسیم و سطح ۱۵ کیلوگرم در هکتار منوپتاسیم فسفات جهت حصول حداقل رشد، عملکرد و کیفیت میوه‌های توت-فرنگی توصیه می‌شود.

کیفیت میوه توت-فرنگی به طور معنی‌داری تحت تأثیر نسبت قند و اسید قرار دارد. افزایش نسبت قند به اسید منجر به طعم بهتر در میوه‌ها می‌گردد (Wuzhong, 2002). همچنین Ahmad et al. (2017) در نتایج حاصل از پژوهش خود بیان کردند که بیشترین مواد جامد محلول و کمترین pH در میوه‌های تیمار شده با بالاترین غلظت فسفر به دست آمد. اضافه کردن فسفر برخی از ویژگی‌های مرتبط با کیفیت میوه توت-فرنگی از جمله قندهای محلول کل و سفتی بافت میوه را بهبود بخشید (Estrada-Ortiz et al., 2013). بهبود کیفیت و افزایش اندازه میوه در توت-فرنگی می‌تواند به علت تأثیر فسفر در افزایش فعالیت آدنوزین تری فسفات باشد. ATP انرژی مورد نیاز برای سنتر نشاسته را تامین می‌نماید. این ATP‌های غنی از انرژی همچنین می‌توانند به کوآنزیم‌های دیگری مانند یوریدین تری فسفات (UTP) و گوانوزین تری فسفات (GTP) که برای سنتر سلوزل و ساکارز مورد نیاز هستند، منتقل شوند و موجب بهبود کیفیت میوه گردد (Ahmad et al., 2017). فسفر باعث افزایش طعم، سفتی و محتوای ویتامین C و همچنین بهبود رنگ پوست و پالپ میوه در گوجه فرنگی گردید (Su, 1974). فسفر به طور مستقیم در متابولیسم قند، پروتئین و چربی شرکت می‌کند و بر عملکرد و کیفیت درختان میوه تأثیر می‌گذارد (Chen et al., 2021). علاوه بر فسفر کاربرد آمینوکلات سیلیسیم موجب بهبود فاکتورهای کیفی و کمی در توت-فرنگی گردید. این یافته‌ها با نتایج حاصل از مطالعات Artyszak (2018) مطابقت دارد که گزارش کرد کاربرد ترکیبات سیلیسیم موجب افزایش عملکرد در انگور گردید، همچنین خصوصیات کیفی از جمله سفتی میوه را افزایش داد. یافته‌های قبلی در محلول پاشی سیلیکات پتاسیم در توت-فرنگی نشان داد که تیمارهای سیلیکات پتاسیم افزایش معنی‌داری در مواد جامد محلول کل، قند کل، ویتامین C، اسیدیته و محتوای

## سپاسگزاری

پژوهشی دانشگاه شهید چمران اهواز تشكیر و قدردانی می-

گردد.

این پژوهش بر اساس تامین مالی از طریق پژوهانه انجام  
پذیرفت. بدین وسیله از حمایت و پشتیبانی معاونت

## References

- Abdollahi, F., Zarei, A., Erfani-Moghadam, J., & Rostaminia, M. (2024). Foliar application of silica and potassium sulphate on some characteristics of pomegranate fruit cv. 'Malase-Saveh'. *Plant Productions*, 47(2), 309-321. [In Persian]
- Ahmad, H., Sajjid, M., Hayat, S., Ullah, R., Ali, M., Jamal, A., & Ali, J. (2017). Growth, yield and fruit quality of strawberry (*Fragaria ananassa* Dutch) under different phosphorus levels. *Research in Agriculture*, 2(2).
- Al-aghabary, K., Zhu, Z., & Shi, Q. (2005). Influence of silicon supply on chlorophyll content, chlorophyll fluorescence, and antioxidative enzyme activities in tomato plants under salt stress. *Journal of plant nutrition*, 27(12), 2101-2115.
- Arnon, A. N. (1967). Method of extraction of chlorophyll in the plants. *Agronomy Journal*, 23:112-121.
- Artyszak, A. (2018). Effect of silicon fertilization on crop yield quantity and quality-A literature review in Europe. *Plants*, 7(3), 54.
- Calvo, P., Nelson, L., & Kloepper, J. (2014). Agricultural uses of plant biostimulants. *Plant and Soil*, 383, 3-41.
- Chapman, H. D., & Pratt, P. F. (1961). Methods of analysis for soils, plants and waters. priced publication 4034. Division of Agriculture Sciences. University of California, Berkeley, 5-350.
- Chen, G., Li, Y., Jin, C., Wang, J., Wang, L., & Wu, J. (2021). Physiological and morphological responses of hydroponically grown pear rootstock under phosphorus treatment. *Frontiers in plant science*, 12, 696045.
- El-Bassiony, A. M., Fawzy, Z. F., Abd El-Samad, E. H., & Riad, G. S. (2010). Growth, yield and fruit quality of sweet pepper plants (*Capsicum annuum* L.) as affected by potassium fertilization. *Journal of American Science*, 6(12), 722-729.
- Estrada-Ortiz, E., Trejo-Téllez, L. I., Gómez-Merino, F. C., Núñez-Escobar, R., & Sandoval-Villa, M. (2013). The effects of phosphite on strawberry yield and fruit quality. *Journal of soil science and plant nutrition*, 13(3), 612-620.
- Ghoneime, A., El-Bassiouny, A., Abdel-Mawgoud, A., El-Tohamy, W., and Gruda, N. (2012). Growth, yield and blossom-end rot incidence in bell pepper as affected by phosphorus level and amino acid applications. *Gesunde Pflanz*, 64(1), 29-37.
- Gray, R.C. (1977). Foliar fertilisation with primary nutrients during the reproductive stage of plant growth. *Proceedings of the Fertilizer Society*, 164, 23.
- Hu, A.Y., Xu, S.N., Qin, D.N., Li, W., & Zhao, X.Q. (2021). Role of silicon in mediating phosphorus imbalance in plants. *Plants*, 10, 51. <https://doi.org/10.3390/plants10010051>.
- Khan, H., Khan, M., Rasul, K., Majeed, A., & Safi, F. A. (2000). Effect of different levels of Nitrogen alone and in combination with constant doses of phosphorus and potassium on growth and yield of Okra (*Abelmoschus esculentus* L.) Cv. T-13 under Agro-climatic conditions of Mingora, Swat. *Pakistan Journal of Biological Sciences*, 3(12), 2101-2104. <https://doi.org/10.3923/pjbs.2000.2101.2104>
- Khavazi, K., Jahandideh mahjan abadi, V.A., & Taghipoor. (2018). Effect of sulfur, *Thiobacillus bacteria* and phosphorus on the yield and nutrient elements uptake of wheat in calcareous soil. *Journal of Soil Management and Sustainable Production*, 8(2), 23-41. [In Persian]
- Khosrofard, Z.S., Eshghi, S., Rastgoor, S., & Hedayat, M. (2017). Effect of root and foliar applications of silicon on growth of strawberry and mineral nutrient uptake under salinity stress in soilless culture. *Iranian Journal of Horticultural Science and Technology*, 18(2), 195-208. [In Persian]
- Kostic, L., Nikolic, N., Bosnic, D., Samardzic, J., & Nikolic, M. (2017). Silicon increases phosphorus (P) uptake by wheat under low P acid soil conditions. *Plant Soil*, 419, 447-455.
- Li, Y., Sun, M., He, W., Wang, H., Pan, H., Yang, Q., & Zhuge, Y. (2021). Effect of phosphorus supplementation on growth, nutrient uptake, physiological responses, and cadmium absorption by tall fescue (*Festuca arundinacea* Schreb.) exposed to cadmium. *Ecotoxicology and Environmental Safety*, 213, 112021.
- Liang, Y., Nikolic, M., Bélanger, R., Gong, H., Song, A., Liang, Y., Nikolic, M., Belanger, R., Gong, H., & Song, A. (2015). Effect of silicon on crop growth, yield and quality. *Silicon in Agriculture: From Theory to Practice*, 209-223.

- Liu, X., Ko, K., Kim, S., & Lee, K. (2008). Effect of amino acid fertilization on nitrate assimilation of leafy radish and soil chemical properties in high nitrate soil. *Communications in Soil Science and Plant Analysis*, 39, 269–281.
- Luyckx, M., Hausman, J. F., Lutts, S. & Guerriero, G. (2017). Silicon and plants: current knowledge and technological perspectives. *Frontiers in plant science*, 8, 411. doi: 10.3389/fpls.2017.00411.
- Ma, J.F., & Takahashi, E. (1990). Effect of silicon on the growth and phosphorus uptake of rice. *Plant Soil*, 126, 115–119.
- Mali, M., & Aery, N. C. (2008). Silicon effects on nodule growth, dry-matter production, and mineral nutrition of cowpea (*Vigna unguiculata*). *Journal of Plant Nutrition and Soil Science*, 171, 835-840.
- Marschner, H. (1995). Mineral nutrition of higher plant. Academic press. London.
- Mikkelsen, R. L. (2013). A closer look at phosphorus uptake by plants. *International Plant Nutrition Institute (IPNI) 13049*, Notrh America. 1-4.
- Molaie, M., Tabatabaei, S.J., & Sharafi, Y. (2018).The effect of foliar application of glucose and mono potassium phosphate ( $\text{KH}_2\text{PO}_4$ ) on some characteristics of strawberry cultivar "Camarosa" in Hydroponic condition. *Horticultural Plant Nutrition*, 1(2), 51-64. [In Persian]
- Mosali, J., Desta, K., Teal, R. K., Freeman, K. W., Martin, K. L., Lawles, J. W., & Raun, W. R. (2006). Effect of foliar application of phosphorus on winter wheat grain yield, phosphorus uptake, and use efficiency. *Journal of Plant Nutrition*, 29, 2147-2163.
- Nada, M. M. (2020). Effect of foliar application with potassium silicate and glycine betaine on growth and early yield quality of strawberry plants. *Journal of Plant Production*, 11(12), 1295-1302.
- Neu, S., Schaller, J., & Dudel, G.D. (2017). Silicon availability modifies nutrient use efficiency and content, C: N: P stoichiometry, and productivity of winter wheat (*Triticum aestivum L.*). *Scientific Report*, 7, 1–8.
- Park, Y. G., Muneer, S., Kim, S., Hwang, S. J. & Jeong, B. R. (2018). Silicon application during vegetative propagation affects photosynthetic protein expression in strawberry. *Horticultural Science and Biotechnology*, 59, 167-177.
- Pinedo-Guerrero, Z. H., Cadenas-Pliego, G., Ortega-Ortiz, H., González-Morales, S., Benavides-Mendoza, A., Valdés-Reyna, J., & Juárez-Maldonado, A. (2020). Form of silica improves yield, fruit quality and antioxidant defense system of tomato plants under salt stress. *Agriculture*, 10(9), 367.
- Ranjbar, P., Nazarideljo, M.J., & Hosseinzadeh, A. (2020). Effect of nano-silicon and imidacloprid foliar application on morpho-physiological characteristics of gerbera cut flower and its reaction to whitefly under greenhouse conditions. *Plant Productions*, 43(2), 295-308. [In Persian]
- Rao, I.M., Arulanantham, A. & Terry, N. (1989). Leaf phosphate status, photosynthesis and carbon partitioning in sugar beet. *Plant Physiology*, 90, 820-826.
- Romero-Aranda, M. R., Jurado, O., & Cuartero, J. (2006). Silicon alleviates the deleterious salt effect on tomato plant growth by improving plant water status. *Journal of Plant Physiology*, 163(8), 847-855.
- Roozitalab, M. H., Toomanian, N., Ghasemi Dehkordi, V. R., & Khormali, F. (2018). Major soils, properties, and classification. *The soils of Iran*, 93-147.
- Schaller, J., Faucherre, S., Joss, H., Obst, M., Goeckede, M., Planer-Friedrich, B., Peiffer, S., Gilfedder, B., Elberling, B. (2019). Silicon increases the phosphorus availability of Arctic soils. *Scientific Report*, 9, 1-11.
- Seyed lor, L., Tabatabaei, S.J., & Fallahi, E. (2013). The effect of silicon on the growth and yield of strawberry grown under saline conditions. *Journal of Horticultural Science*, 23 (1), 88-95. [In Persian]
- Shabani, E., Bolandnazar, S.A., Tabatabaei, S.J., Najafi, N., Alizadeh-Salteh, S., & Rouphael, Y. (2018). Stimulation in the movement and uptake of phosphorus in response to magnetic P solution and arbuscular mycorrhizal fungi in *Ocimum basilicum*, *Journal of Plant Nutrition*, 41(13), 1662-1673.
- Shabani, E. (2023). Improving the growth, P uptake and quality characteristics of 'Lollo Rosso' lettuce in the nutrient solution by *Bacillus subtilis* in different phosphorus concentrations. *Journal of Plant Nutrition*, 46(6), 971-983.
- Song, Z., Liu, H., Li, B. & Yang, X. (2013). The production of phytolith-occluded carbon in China's forests: implications to biogeochemical carbon sequestration. *Global Change Biology*, 19, 2907-2915.
- Souri, M., & Yarahmadi, B. (2016). Effect of amino chelates foliar application on growth and development of marigold (*Calendula officinalis*) plants. *Plant Production Technology*, 15(2), 109-119.
- Souri, M. K. (2016). Aminochelate fertilizers: the new approach to the old problem; a review. *Open Agriculture*, 1(1): 118-123.
- Su, N. R. (1974). Experiments involving the use of Sulfur coated fertilizer for corn and tomatoes. Agronomic Cooperators Workshop, Muscles Shoals, AL. 6-8.

- Tabatabaei, S. J. (2013). *Principles of mineral Nutrition Plant*. University of Tabriz press. Tabriz, Iran. [In Persian]
- Tulipani, S., Mezzetti, B., & Battino, M. (2009). Impact of strawberries on human health: insight into marginally discussed bioactive compounds for the Mediterranean diet. *Public Health Nutrition*, 12, 1656-1662.
- Wuzhong, N. (2002). Yield and quality of fruits of solanaceous crops as affected by potassium fertilization. *Better Crops International*, 16(1): 6-8.

دانشگاه  
آزاد اسلامی  
تهران